

高等学校教学用書

材 料 力 学

下 册

杜庆华等編著

高等 教育 出版 社

高等学校教学用書



材 料 力 学
下 册

杜庆华等編著

高等教育出版社

本書系由杜慶華、孫訓方、賈有權、張福范等教師根據清華大學、天津大學、唐山鐵道學院三校歷年編寫的材料力學講義整理改寫而成，由杜慶華教授主編，並經教育部同意作為高等工業學校土建、機械類專業的試用教材。

本書暫分上下冊出版。下冊共十一章，闡述構件的強度及剛度計算，靜不定系統的計算基礎，彈性地基上的梁，薄壁杆件的扭轉和彎曲，變形系統平衡的穩定問題，動載荷問題等等，並有豐富的例題和圖表。本書除供各高等學校廣泛使用外，還可供在職干部學習及工程技術人員參考之用。

2PS/14

材 力 學

下 冊

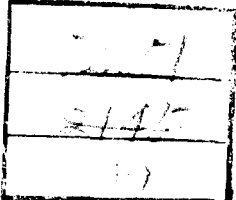
杜慶華等編著

高等教育出版社出版北京宣武門內承恩寺 7 号

(北京市書刊出版業營業許可證字第 054 號)

京華印書局印刷 新華書店發行

統一書號 15010·720 開本 787×1092 1/16 印張 14 4/8
字數 928,000 印數 0001—10,000 定價 (10) 1.80
1958 年 9 月第 1 版 1958 年 9 月北京第 1 次印刷



下 册 目 录

第十四章 在任意載荷作用下构件的强度計算

§14.1 杆在任意載荷作用下的应力計算方法.....	217	§14.6 受偏心拉伸(或压缩)的杆的应力計算及强度校核.....	227
§14.2 杆在斜弯曲情况下的应力及变形計算.....	218	§14.7 截面核心.....	230
§14.3 斜弯曲情况下梁的强度校核.....	222	§14.8 受扭轉与弯曲联合作用的杆的强度校核.....	233
§14.4 杆在不同平面內的横向力作用下的弯曲問題.....	224	§14.9 曲柄軸的强度校核.....	237
§14.5 受弯曲与拉伸(或压缩)联合作用的杆的强度校核.....	225		

第十五章 任意載荷作用下杆件的剛度計算

§15.1 拉伸、扭轉与弯曲的变形能計算.....	240	§15.4 卡氏定理.....	248
§15.2 变形能的一般算式·克拉貝依隆原理.....	241	§15.5 功的互等定理.....	251
§15.3 莫尔定理.....	243		

第十六章 靜不定系統·力法

§16.1 靜不定系統的一般概念.....	253	算的校核.....	262
§16.2 基本系統·解靜不定問題的基本方法.....	254	§16.6 連續梁.....	263
§16.3 正則方程式.....	256	§16.7 三弯矩方程式.....	264
§16.4 最小功原理.....	261	§16.8 支座高度不准确的影响.....	267
§16.5 温度对于靜不定系統的影响·靜不定系統計			

第十七章 彈性地基上的梁

§17.1 一般概念.....	269	§17.4 半无限长梁.....	272
§17.2 捷度曲線的微分方程及其解.....	269	§17.5 有限长梁.....	274
§17.3 无限长梁.....	270		

第十八章 薄壁杆件的扭轉和弯曲

§18.1 薄壁杆件的定义.....	280	§18.6 薄壁杆件約束扭轉的剪应力.....	291
§18.2 自由扭轉与約束扭轉的概念.....	280	§18.7 薄壁杆件約束扭轉的微分方程及其积分.....	294
§18.3 截面的几何性质.....	281	§18.8 薄壁杆件在复杂抗力的一般情况下的应力計算.....	296
§18.4 扭轉中心与弯曲中心.....	285		
§18.5 基本假設·約束扭轉的正应力算式.....	287		

第十九章 平面曲杆的强度及剛度計算

§19.1 平面曲杆的平面弯曲問題.....	301	§19.4 平面曲杆在平面弯曲时的强度条件.....	310
§19.2 平面曲杆在純弯曲时的正应力公式.....	302	§19.5 計算曲杆在平面弯曲时正应力的另一方法.....	312
§19.3 中性层曲率半徑 r 及截面形心到中性层距离 y_0 的計算.....	305	§19.6 平面曲杆弯曲正应力公式的討論.....	313
		§19.7 平面曲杆弯曲变形的計算.....	315

第二十章 厚壁圓筒与薄壁容器

§20.1 計算厚壁筒应力与位移的方程式.....	317	§20.4 薄壁容器的应力計算.....	326
§20.2 各种受力情况下厚壁筒之应力及位移的計算.....	320	§20.5 容器联接环的計算.....	328
§20.3 組合筒的計算.....	322		

第二十一章 变形系統平衡的稳定問題

§21.1 稳定的平衡和不稳定的平衡.....	330	計算.....	339
§21.2 求临界力的欧拉公式.....	332	§21.5 压杆的稳定校核.....	344
§21.3 端点条件对临界力的影响.....	334	§21.6 稳定計算的一些特殊性质和它的实际意义.....	349
§21.4 欧拉公式的应用限度和超出彈性范围的稳定		§21.7 紵橫弯曲的概念及强度校核.....	351

~~490702~~

第二十二章 动載荷問題

§21.8 側穩定和其他穩定概念.....	355	§22.7 振動時應力的計算.....	368
§21.9 穩定計算的發展.....	356	§22.8 撞擊時應力的計算.....	372
§22.1 一般概念.....	358	§22.9 撞擊應力的計算實例.....	374
§22.2 構件作等加速運動時應力的計算.....	359	§22.10 考慮被撞擊之彈性體系的質量時撞擊應力的計算.....	376
§22.3 構件作等速轉動時應力的計算.....	360	§22.11 撞擊物自身應力之計算.....	378
§22.4 連杆和搖杆內的應力.....	361	§22.12 撞擊時材料機械性質的實驗研究.....	380
§22.5 直杆的自然振動頻率.....	362		
§22.6 旋轉軸的共振、臨界速度.....	367		

第二十三章 交變應力下構件的強度計算

§23.1 基本概念.....	385	限曲線.....	400
§23.2 交變應力的符號及其循環特性.....	385	§23.8 材料與構件的簡化持久極限曲線及計算公式.....	403
§23.3 在交變應力下構件疲勞破壞的現象.....	387	§23.9 拉伸-壓縮、彎曲或扭轉的交變應力下構件的強度校核.....	405
§23.4 對交變應力下材料破壞原因的假說.....	389	§23.10 弯-扭組合交變應力下構件的強度計算.....	410
§23.5 材料的持久極限及其測定方法.....	392	§23.11 在不穩定的交變應力下按強度條件及持久久壽命計算構件的方法.....	413
§23.6 影響材料持久極限的主要因素.....	395		
§23.7 非對稱循環下持久極限的變化規律、持久極			

第二十四章 考慮材料的塑性時杆件的計算

§24.1 按承載能力計算靜不定杆系.....	415	§24.5 高溫下的塑性變形·徐滑試驗.....	426
§24.2 按承載能力法計算受扭轉的圓軸.....	418	§24.6 徐滑時許用應力的確定.....	429
§24.3 按承載能力法計算靜定梁.....	420	§24.7 應力松弛.....	433
§24.4 按承載能力法計算連續梁·關於塑性絞的概念.....	423		
附錄 1. 函數 η 、 η_1 、 η_2 和 η_3 的數值.....			436
附錄 2. 計算彈性地基上的等截面梁用的院士阿·恩·克雷洛夫的函數表.....			438
附錄 3. A. 工字形壓延斷面的屬性幾何特性.....			443
B. 槽形壓延斷面的屬性幾何特性.....			444

第十四章 在任意載荷作用下构件的强度計算

§ 14.1. 杆在任意載荷作用下的应力計算方法

在以前各章中已討論了杆在載荷作用下发生拉伸、压缩、剪切、扭轉和弯曲五种基本形式的变形时，計算其横截面上应力的方法。实际上，大多数的杆在載荷作用下往往同时发生两种以上的变形，例如机器上的傳动軸和曲柄軸是在弯曲和扭轉的联合作用下工作的，擋土墙除了受本身重量的压缩外还受土压力的作用而发生弯曲等（見图 14.1）。

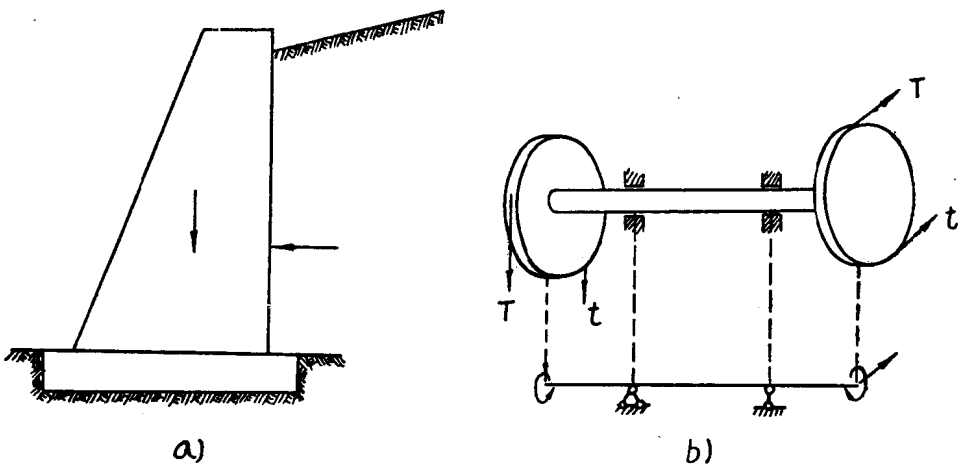


图 14.1

在任意載荷作用下，杆将同时发生两种以上的基本变形，按杆所发生的变形情况，在本章中将討論以下諸問題：

- (1) 斜弯曲，以及两个主平面內弯曲的联合作用；
- (2) 弯曲与拉伸或压缩的联合作用，偏心拉伸或压缩；
- (3) 弯曲与扭轉的联合作用，弯曲、扭轉与拉伸或压缩的联合作用。

在这一类問題的計算中，通常是利用生文南原理和力作用的迭加原理，将作用在杆上的任意載荷簡化为一系列与其相当的載荷，每一个載荷仅产生一种基本形式的变形；分别求出每一个載荷在构件横截面上所产生的应力，然后由力作用的迭加原理求出横截面上总的应力即等于原来的載荷所产生的应力。必須指出，这种方法的应用是受到一定限制的，首先，在載荷作用点的邻近截面上不能用此方法計算应力（因为生文南原理只适用于离載荷作用点較远的截面处）；其次，在力作用的迭加原理不能应用的某些情况中（例如細长杆同时受纵向力和横向力而弯曲时）也不能应用此种方法。

在計算任意載荷作用下棱体杆任意横截面上（例如图 14.2, a) 的 mn 截面]的应力时，可以用所研究的横截面将杆假想地截开为两部分，弃去其左半而研究其留下的右半；作用在留

下部分上的外力可以简化到横截面 mn 的形心处从而变成三个通过截面形心的力 N, Q_y, Q_z 和三个力偶 M_k, M_y^H, M_z^H (图 14.2, b)], 其中 x 轴与棱体杆的轴线(横截面形心联线)重合, y 、 z 两轴则为横截面的两个中心主惯性轴。每一个力或力偶均只产生一种基本形式的变形。与此六个简化的外力相对应的变形形式、内力素[参看图 14.2, c)]以及横截面上的应力计算公式可以参看表 14.1。根据这些应力计算公式, 利用力作用的迭加原理, 即可求出横截面上任意一点的应力, 作为强度计算的根据。

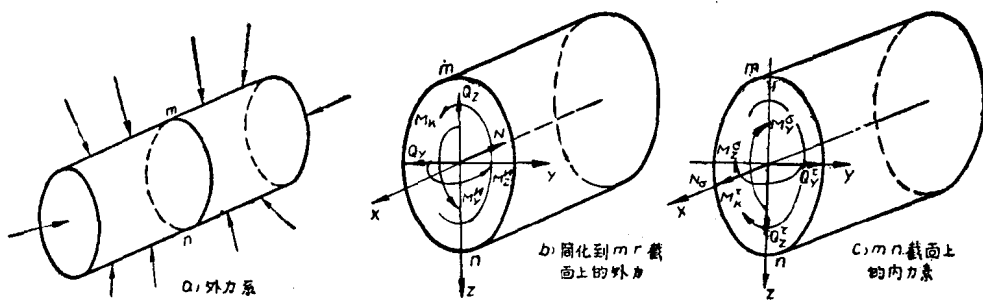


图 14.2

表 14.1

简化到横截面形心上的外力	相应的内力素	相应的变形	横截面上应力的计算公式
$N = \Sigma X$	轴力 N_σ	拉伸或压缩	$\sigma = \frac{N}{F}$
$Q_y = \Sigma Y$	剪力 Q_y^T	主平面 xy 内的剪切	$\tau_y = \frac{Q_y S_{(y)}}{J_z b_{(y)}}$
$Q_z = \Sigma Z$	剪力 Q_z^T	主平面 xz 内的剪切	$\tau_z = \frac{Q_z S_{(z)}}{J_y b_{(z)}}$
$M_k = \Sigma M_x$	扭矩 M_k^T	扭转	$\tau = \frac{M_k \rho}{J_p}$ (圆截面)
$M_y^H = \Sigma M_y$	弯矩 M_y^σ	主平面 xz 内的弯曲	$\sigma = \frac{M_y z}{J_y}$
$M_z^H = \Sigma M_z$	弯矩 M_z^σ	主平面 xy 内的弯曲	$\sigma = \frac{M_z y}{J_z}$

§ 14.2. 杆在斜弯曲情况下的应力及变形計算

当垂直于杆轴线的横向力的作用平面并不与杆的主平面(即通过横截面的一个中心主轴而与横截面垂直的平面, 例如图 14.2 中的 xy 和 xz 平面)重合时, 实验结果指出: 弯曲后杆的轴线(挠曲线)已经不在外力的作用平面上了, 这种弯曲即被称为斜弯曲, 屋面上的桁条是斜弯曲的典型例子(图 14.3)。

斜弯曲可以看成是两个平面弯曲的联合作用, 因此, 只要将斜弯曲分解为两个主平面内的平面弯曲, 分别计算在两个平面弯曲中横截面上任意一点 c 的正应力, 再利用力作用的迭加原理求出两个正应力的代数和, 即等于在斜弯曲情况下横截面上 c 点的正应力 [图

14.4, a)], 并且从而可确定横截面上的最大正应力。以同样的道理分别算出两个平面弯曲情况中的挠度，按力作用的迭加原理算出其向量和，即可求出在斜弯曲情况中的最大挠度。

下面以一端固定，另一自由端承受集中载荷 P 的椭圆截面直梁的斜弯曲为例(图 14.4)，来说明斜弯曲时梁的横截面上正应力和梁的变形的计算方法。

假定载荷 P 作用在自由端截面的形心 B 上，其方向与截面的中心主轴之一的 z 轴成 φ 角，假定 yz 坐标轴的选择方法是使 P 力恒在坐标系的第一象限内。现在将 P 力分解为沿 y 轴和 z 轴方向的两个力 P_y 和 P_z ，其值为：

$$P_y = P \sin \varphi, \quad P_z = P \cos \varphi.$$

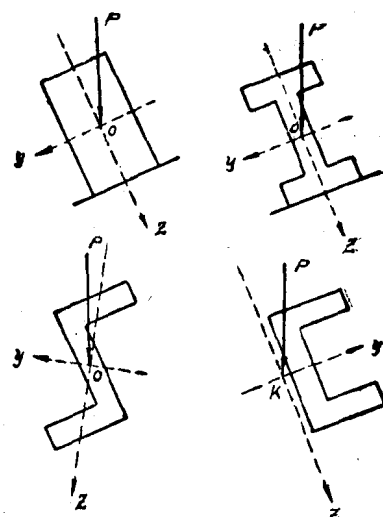


图 14.3

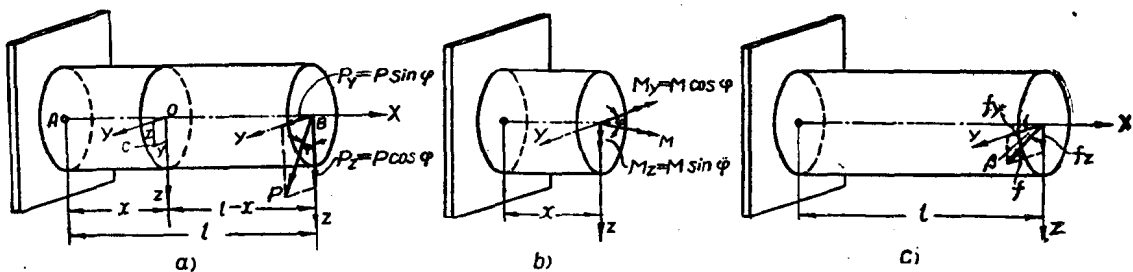


图 14.4

P_y 和 P_z 两力将使梁分别在两个主平面 xy 和 xz 内发生平面弯曲。在任意 x 截面上由于这两个力所引起的弯矩将等于

$$\begin{aligned} M_z &= P_y \cdot (l - x) = P \cdot \sin \varphi \cdot (l - x) = M \sin \varphi; \\ M_y &= P_z \cdot (l - x) = P \cdot \cos \varphi \cdot (l - x) = M \cos \varphi. \end{aligned} \quad (14.1)$$

其中： $M = P(l - x)$ 代表在 P 力作用平面内的弯矩。显然弯矩 M_y 和 M_z 同样也可以通过向量分解的方法将弯矩 M 分解到两个主轴方向以求得(图 14.4, b))。

在 x 截面上任意一点 $c(+y, +z)$ 处的正应力，可以分别地按两个平面弯曲来计算：

$$\text{由于 } M_y \text{ 的作用 } \sigma' = -\frac{M_y z}{J_y} = -\frac{M \cos \varphi \cdot z}{J_y},$$

$$\text{由于 } M_z \text{ 的作用 } \sigma'' = -\frac{M_z y}{J_z} = -\frac{M \sin \varphi \cdot y}{J_z};$$

上式中的负号是因为在 c 点 $(+y, +z)$ 处由于 M_y 和 M_z (均为正值弯矩) 所引起的正应力均为压应力的缘故。

它们的代数和即等于梁在斜弯曲情况下由于弯矩 M 所引起的 x 截面上 c 点处的正应力：

$$\sigma = \sigma' + \sigma'' = -M \left[\frac{z \cos \varphi}{J_y} + \frac{y \sin \varphi}{J_z} \right], \quad (14.2)$$

上式中 J_y 和 J_z 依次代表横截面对 y 轴及 z 轴的惯性矩。由于将 P 力放在 yz 坐标系的第

一象限中，因此可以認為 M 和 φ 均為正值，用(14.2)式計算任一點的正應力時只需將該點的 y, z 坐標的代數值代入，即可得到該點的正應力，正值代表拉應力而負值則代表壓應力。

(14.2)式雖然是根據一端固定，另一自由端受集中載荷作用的梁在斜彎曲情況下所導出的，但同樣可適用於其他支座形式及載荷情況的梁中，為了保證(14.2)式的符號正確，必須選擇 yz 坐標軸位置，使載荷恒作用在 yz 坐標系的第一象限內。

既知橫截面上任意一點的正應力，即可進一步確定橫截面上的最大正應力所在點的位置及其數值。由於斜彎曲可以看成是兩個平面彎曲的聯合作用，而在平面彎曲時曾假定橫截面象剛性平面一樣地繞中性軸旋轉（變形的平面假設），因此，在兩個平面彎曲的聯合作用下，橫截面將繞兩個中性軸交點的另一軸旋轉，根據理論力學中的原理可知，其組合的效果即相當於橫截面繞通過此兩中性軸交點的另一軸旋轉，這個軸也就是在斜彎曲情況下橫截面上的中性軸，或稱為零應力線。既然在斜彎曲情況下橫截面也象剛性平面一樣地繞其零應力線旋轉，因此，橫截面的任意點的正應力均與該點到零應力線的垂直距離成正比，換言之，即沿橫截面上任一直線上各點的正應力均按直線規律變化（圖

14.5）。這樣，就可以得到如下的結論：離零應力線垂直距離最遠的點其正應力為最大。因此，要確定最大正應力所在點的位置及其數值，首先應該確定零應力線的位置。據根定義，零應力線上各點的正應力均等於零，因此，若令 (y_0, z_0) 為零應力線上任意一點的坐標，則有如下條件：

$$(\sigma)_{\substack{y=y_0 \\ z=z_0}} = -M \left[\frac{z_0 \cos \varphi}{J_y} + \frac{y_0 \sin \varphi}{J_z} \right] = 0,$$

從而得到零應力線的方程式：

$$\frac{\cos \varphi}{J_y} \cdot z_0 + \frac{\sin \varphi}{J_z} \cdot y_0 = 0; \quad (14.3)$$

(14.3)式是一條通過坐標原點的直線，它與 y 軸間的夾角 α 值可以由下式算出

$$\operatorname{tg} \alpha = \frac{z_0}{y_0} = -\operatorname{tg} \varphi \cdot \frac{J_y}{J_z}, \quad (14.4)$$

上式中的負號表示 α 角是在 yz 坐標系中的第二象限內（圖 14.5）。

既知零應力線的位置，即可作與零應力線平行的線使與橫截面的周邊相切，以確定離零應力線垂直距離最遠點的位置（即最大正應力所在點），例如圖 14.5 中的 1、2 兩點。該兩點處的正應力分別為橫截面上的最大拉應力和最大壓應力。將兩點坐標的代數值 (y_1, z_1) 、 (y_2, z_2) 代入公式(14.2)，即得橫截面上的最大拉應力和最大壓應力。在圖 14.5 所示之例中：

$$\left. \begin{array}{l} \text{最大拉應力在 1 點} (y_1, z_1 \text{ 均為負值}): \quad \rho \sigma_{\max} = \sigma_1 = -M \left[\frac{z_1 \cos \varphi}{J_y} + \frac{y_1 \sin \varphi}{J_z} \right]; \\ \text{最大壓應力在 2 點} (y_2, z_2 \text{ 均為正值}): \quad c \sigma_{\max} = \sigma_2 = -M \left[\frac{z_2 \cos \varphi}{J_y} + \frac{y_2 \sin \varphi}{J_z} \right]. \end{array} \right\} \quad (14.5)$$

上述方法及公式可以用来確定在斜彎曲情況下任意形狀的橫截面上（例如圖 14.6 所示的鋼軌截面）的最大應力。

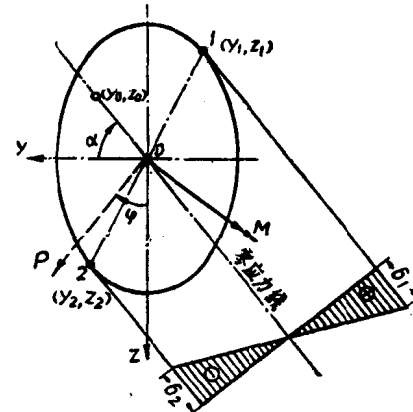


圖 14.5

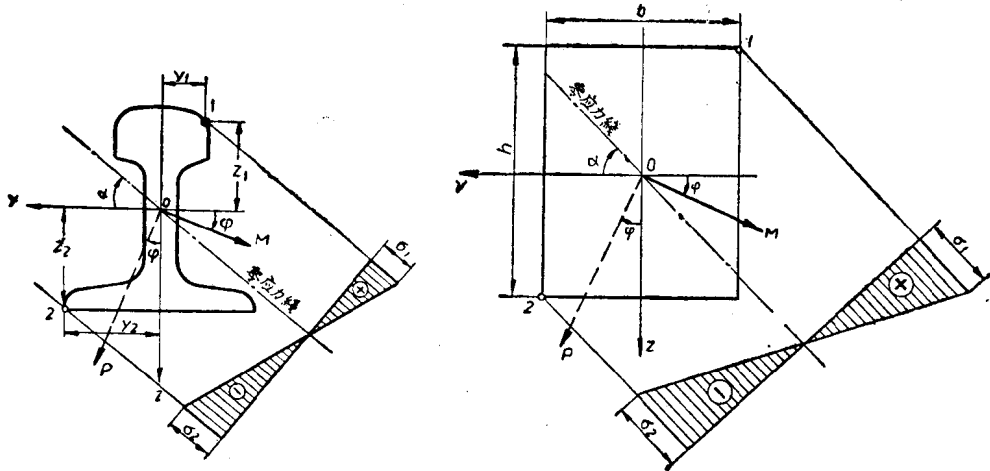


图 14.6

图 14.7

在图 14.7 所示的矩形截面中, 将 1,2 两点的坐标值代入(14.5)式可得:

$$\left. \begin{aligned} p\sigma_{\max} = \sigma_1 &= -M \left[\frac{-h \cos \varphi}{J_y} + \frac{-b \sin \varphi}{J_z} \right] = M \left[\frac{\cos \varphi}{W_y} + \frac{\sin \varphi}{W_z} \right] = \frac{M_y}{W_y} + \frac{M_z}{W_z}; \\ c \cdot k \sigma_{\max} = \sigma_2 &= -M \left[\frac{h \cos \varphi}{J_y} + \frac{b \sin \varphi}{J_z} \right] = -M \left[\frac{\cos \varphi}{W_y} + \frac{\sin \varphi}{W_z} \right] = - \left[\frac{M_y}{W_y} + \frac{M_z}{W_z} \right]. \end{aligned} \right\} \quad (14.6)$$

讀者可自行證明, 在具有棱角的对称截面中(例如矩形、工字形等截面)最大正应力恒发生在 yz 坐标系的第一三两象限的頂角处(当載荷作用在第一象限时), 而且其值恒可由公式(14.6)来計算。必須指出, 对于沒有棱角的截面决不可以用公式(14.6)来計算最大正应力。

在两个中心主惯性矩相等的截面中(即 $J_y = J_z$), 例如圓形、正方形、环形截面等, 由(14.4)式可算出其零应力綫与 y 軸間的夹角 α 的正切值:

$$\tan \alpha = -\tan \varphi \cdot \frac{J_y}{J_z} = -\tan \varphi,$$

由此可知, 零应力綫垂直于外力的作用平面。这就是說, 在这一类截面中, 不論載荷作用在哪个平面內均将发生平面弯曲而不会发生斜弯曲。因此, 对于这类截面可以直接按平面弯曲公式进行計算。事实上, 在 $J_y = J_z$ 的截面中, 任何通过截面形心的軸均为中心主軸(可以由公式 9.21 推导出), 因此, 根本就沒有发生斜弯曲的可能。

在斜弯曲中計算剪应力的方法, 显然也同样地可以采用分別計算两个平面弯曲情况中的剪应力, 然后按迭加原理算出其几何和来(因为两个剪应力方向互相垂直)。但由于在斜弯曲情况下剪应力的数值往往很小, 在实际运算中是不考慮剪应力强度条件的, 因此这种計算沒有实用价值, 这里就不加討論了。

最后来研究斜弯曲情况下撓度的計算。仍以图 14.4 所示之梁为例, 要計算梁自由端的撓度, 首先还是把 P 力分解成 P_y 和 P_z 两个分力, 然后計算在这两个分力作用的平面弯曲中, 梁在自由端的撓度 f_y 和 f_z , 最后求出它們的向量和, 即得斜弯曲时的总撓度 f 。由平面弯曲中的公式可知:

$$f_y = \frac{P_y l^3}{3EJ_z} = \frac{P \sin \varphi l^3}{3EJ_z}; \quad f_z = \frac{P_z l^3}{3EJ_y} = \frac{P \cos \varphi l^3}{3EJ_y};$$

梁自由端的总挠度等于：

$$f = \sqrt{f_y^2 + f_z^2} = \frac{Pl^3}{3EJ_z} \sqrt{\sin^2 \varphi + \left(\frac{J_z}{J_y}\right)^2 \cos^2 \varphi}. \quad (14.7)$$

上式同样可以用以计算其他载荷方式和支座情况下的梁在斜弯曲时的总挠度，只需将根号前面的系数改变为相应于各种支座和载荷情况下在 xy 平面内发生平面弯曲时的挠度值即可。

由 f_y 和 f_z 的数值还可以算出总挠度与 y 轴间的夹角 β [图 14.4,c)] 的数值：

$$\operatorname{tg} \beta = \frac{f_z}{f_y} = \frac{J_z}{J_y} \cdot \operatorname{ctg} \varphi. \quad (14.8)$$

由此证明了在斜弯曲情况下挠曲线所在平面与载荷的作用平面是不重合的，因为只有当 $\operatorname{tg} \beta = \operatorname{ctg} \varphi$ 时才意味着两者的重合。

由公式(14.4)知道零应力线与 y 轴间的夹角 α 是由

$$\operatorname{tg} \alpha = -\frac{J_y}{J_z} \operatorname{tg} \varphi$$

来计算的。从而得：

$$\operatorname{tg} \beta \cdot \operatorname{tg} \alpha = \frac{J_z}{J_y} \operatorname{ctg} \varphi \cdot \left(-\frac{J_y}{J_z} \operatorname{tg} \varphi\right) = -1;$$

由此可知零应力线仍旧是与梁的挠曲线所在平面垂直的。

§ 14.3. 斜弯曲情况下梁的强度校核

根据(14.5)式可以进行在斜弯曲情况下梁的强度校核。首先，应该确定最大弯矩所在截面的位置及最大弯矩值 M_{max} ，然后将 M_{max} 值代入(14.5)式即可得到在斜弯曲情况下梁的横截面上的最大正应力。在材料的拉压强度不等的情况下，可得出如下两强度条件：

$$\left. \begin{aligned} p\sigma_{max} &= -M_{max} \left[\frac{z_1 \cos \varphi}{J_y} + \frac{y_1 \sin \varphi}{J_z} \right] \leq [\sigma]_p, \\ c\sigma_{max} &= \left| -M_{max} \left[\frac{z_2 \cos \varphi}{J_y} + \frac{y_2 \sin \varphi}{J_z} \right] \right| \leq [\sigma]_{c\sigma}. \end{aligned} \right\} \quad (14.9)$$

在材料的拉压强度相等的情况下，只需

利用上式中的一个强度条件即足。

在一般工程中常用的截面多半是有棱角的对称截面(例如图 14.8 中的诸截面)，在这一类截面中的最大拉应力与最大压应力相等，且可由(14.6)式来计算：

$$\frac{p\sigma_{max}}{c\sigma_{max}} = \pm \left[\frac{M_{ymax}}{W_y} + \frac{M_{zmax}}{W_z} \right]. \quad (14.6)$$

同时，常用的梁均为钢制，其拉伸与压缩

的许用应力是相等的，因此，对于这一类构件的强度条件可以写为

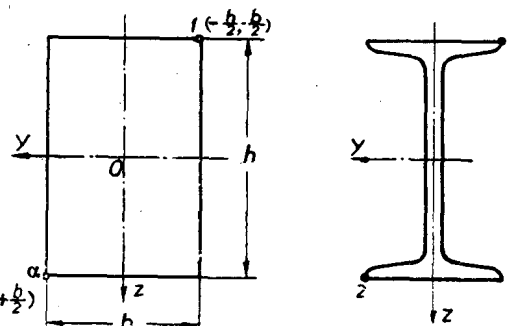


图 14.8

$$p\sigma_{\max} = \left[\frac{M_{y\max}}{W_y} + \frac{M_{z\max}}{W_z} \right] \leq [\sigma]_p; \quad (14.10)$$

或简化为

$$\frac{M_{y\max}}{W_y} \left[1 + \frac{W_y}{W_z} \operatorname{tg} \varphi \right] \leq [\sigma]_p, \quad (14.11)$$

其中 $\operatorname{tg} \varphi = \frac{M_{z\max}}{M_{y\max}}$ [参看图 14.4,b)]。

由以上强度条件可知，在斜弯曲情况下选择截面是较为困难的，因为在强度条件中包括了两个未知的抗弯截面模数。若按(14.11)式选择截面则可以较为简便。

在矩形截面中(图 14.8)

$$\frac{W_y}{W_z} = \frac{\frac{1}{6}bh^2}{\frac{1}{6}b^2h} = \frac{h}{b},$$

因此，只要知道 h 与 b 的比值即可确定 $\frac{W_y}{W_z}$ 的比值，从而可按(14.11)式直接选择截面尺寸。

在工字钢及槽钢的截面选择中，可以根据以下的 $\frac{W_y}{W_z}$ 近似值：

$$\text{工字钢截面} \quad \frac{W_y}{W_z} \doteq (8 \sim 10),$$

$$\text{槽钢截面} \quad \frac{W_y}{W_z} \doteq (6 \sim 8).$$

利用公式(14.11)初步选择一个截面，然后再按所用截面实际的 $\frac{W_y}{W_z}$ 比值代入公式(14.11)进行核算，通常经过一两次试算后即可最后确定所用截面的号码。

例题 14.1 跨度为 4m 的工字钢梁，两端简支，在梁跨的中点承受 $P=2T$ 的集中载荷作用，载荷平面与截面主轴 z 间的夹角为 $\varphi=15^\circ$ (图 14.9)。钢的许用应力为 $[\sigma]=1600 \text{ kg/cm}^2$ 。选择此工字钢的号码，并计算其最大挠度。

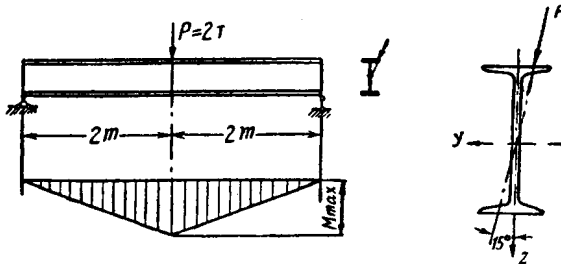


图 14.9

解：在载荷平面内，梁的最大弯矩在集中载荷作用的截面处：

$$M_{\max} = \frac{1}{4}Pl = \frac{1}{4} \times 2000 \times 400 = 200000 \text{ kg-cm}.$$

在主平面 oz 内的最大弯矩为

$$M_{y\max} = M_{\max} \cdot \cos \varphi = 200000 \cos 15^\circ = 193000 \text{ kg-cm}.$$

先假定工字钢的 $\frac{W_y}{W_z} = 6$ ，由强度条件(14.11)得：

$$W_y \geq \frac{M_{y\max}}{[\sigma]} \left[1 + \frac{W_y}{W_z} \operatorname{tg} \varphi \right] = \frac{193000}{1600} [1 + 6 \cdot \operatorname{tg} 15^\circ] = 315 \text{ cm}^3.$$

由工字钢表查得 22b 工字钢：

$$W_y = 325 \text{ cm}^3; \quad W_z = 42.7 \text{ cm}^3; \quad \frac{W_y}{W_z} = \frac{325}{42.7} = 7.62.$$

利用此 $\frac{W_y}{W_z}$ 比值代入(14.11)式得

$$W_y \geq \frac{193000}{1600} [1 + 7.62 \operatorname{tg} 15^\circ] = 367 \text{ cm}^3.$$

显然, 用 22b 工字钢是不够的, 因此, 可以采用大一号的: 24a 工字钢,

$$W_y = 381 \text{ cm}^3; \quad W_z = 48.4 \text{ cm}^3; \quad \frac{W_y}{W_z} = \frac{381}{48.4} = 7.88.$$

再将此 $\frac{W_y}{W_z}$ 比值代入(14.11)式得:

$$W_y \geq \frac{193000}{1600} [1 + 7.88 \operatorname{tg} 15^\circ] = 375 \text{ cm}^3;$$

从而可見, 用 24a 工字钢: $W_y = 381 \text{ cm}^3$ 是能满足强度条件的。

由此例可見, 采用屢試法預先武斷地假定一个 $\frac{W_y}{W_z}$ 比值, 一般經過两次試算即可确定截面尺寸。

此梁的跨度中点挠度最大, 先分別計算跨度中点沿 y 軸方向及 z 軸方向的挠度分量 f_y 及 f_z :

$$f_y = \frac{P_y l^3}{48 E J_z} = \frac{2000 \cdot \sin 15^\circ \cdot 4^3 \cdot 10^6}{48 \cdot 2 \cdot 10^6 \cdot 280} = 1.23 \text{ cm};$$

$$f_z = \frac{P_z l^3}{48 E J_y} = \frac{2000 \cdot \cos 15^\circ \cdot 4^3 \cdot 10^6}{48 \cdot 2 \cdot 10^6 \cdot 4570} = 0.28 \text{ cm}.$$

然后按向量和求出最大挠度 f_{\max} 值:

$$f_{\max} = \sqrt{f_y^2 + f_z^2} = \sqrt{(1.23)^2 + (0.28)^2} = 1.26 \text{ cm}.$$

最大挠度方向与 y 軸間的夹角 β 等于

$$\beta = \operatorname{tg}^{-1} \left(\frac{f_z}{f_y} \right) = \operatorname{tg}^{-1} \left(\frac{0.28}{1.23} \right) = \operatorname{tg}^{-1} (0.228) = 12.8^\circ.$$

§ 14.4. 杆在不同平面內的横向力作用下的弯曲問題

在机械制造中常用到的零件, 它所承受的横向力并不作用在同一平面內, 对这种零件的最大弯曲正应力的計算方法是先将载荷分解到两个主平面內, 求出其分力, 然后再分別地繪出两个主平面內的弯矩图, 从而确定最大弯矩所在的截面。分別計算此截面上由于两个主平面內的平面弯曲所产生的弯曲正应力, 再利用 §14.2 中的迭加法即可求出横截面上总的弯曲正应力。

先以矩形截面杆为例以說明此計算方法。图 14.10, b) 所示的矩形截面杆, 受到两个横向力 P 及 Q 的作用[图 14.10, a)], 先将 P, Q 两力分解为与主轴 y 、 z 方向平行的分力, 然后分別繪出主平面 oy 及 oz 內的弯矩图[图 14.10, c), d)], 由此两弯矩图可以确定固定端 A 的弯矩为最大。在固定端 A 的横截面上由于 AM_y 所引起的最大弯曲正应力为

$$\sigma' = \frac{AM_y}{W_y},$$

作用在横截面的上下最外緣纖維处[图 14.10, e)]。

由于 AM_z 所引起的最大弯曲正应力則为

$$\sigma'' = \frac{AM_z}{W_z},$$

作用在横截面的左右两最外緣纖維处[图 14.10, e)]。

迭加之后显然可見, 最大拉伸和压缩应力分别发生在 1, 2 两点, 其值为:

$$\frac{\sigma_1}{\sigma_2} = \frac{P\sigma_{\max}}{c \cdot \sigma_{\max}} = \pm \left(\frac{AM_y}{W_y} + \frac{AM_z}{W_z} \right).$$

注意, 此結果与(14.6)式是相同的。

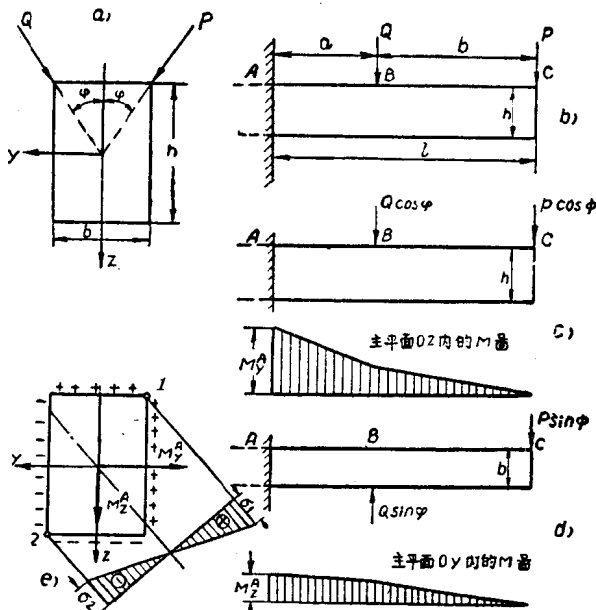


图 14.10

其次来研究圆截面杆受到不在同一平面内的横向力 P 和 Q 的作用(图 14.11, b)时弯曲正应力计算的问题。由于圆截面的任一直径均为中心主轴,因此可以选择 P 力的方向为主轴 z 的方向。 Q 力可以沿两主轴 y, z 的方向分解为

$$Q_y = Q \sin \varphi \text{ 及 } Q_z = Q \cos \varphi$$

两个分力。分别输出主平面 oz 及 oy 内的弯矩图(图 14.11, c), d)。由圆截面的特点——任意直径均为中心主轴,可以在计算弯曲应力时将两个不同平面内的弯矩按向量相加得到一个总的弯矩 M_u :

$$M_u = \sqrt{M_y^2 + M_z^2}, \quad (14.12)$$

然后根据此弯矩按照平面弯曲进行计算。由图 14.11, c), d) 可知最大总弯矩 $\max M_u$ 必定在 C, D 两截面中的一个截面上,假定在 D 截面处,则:

$$\max M_u = D M_u = \sqrt{D M_y^2 + D M_z^2},$$

参看图 14.11, e)。根据此弯矩值,即可按平面弯曲的公式(12.8)算出 D 截面上的最大弯曲正应力:

$$\sigma_{\max} = \frac{\max M_u}{W} = \frac{32}{\pi d^3} \sqrt{D M_y^2 + D M_z^2},$$

其中, d 为圆杆的直径。

必须指出,这种方法仅适用于圆截面及环形截面,因为这类截面既不可能发生斜弯曲,而且对于任何形心轴的 W 值均相等。

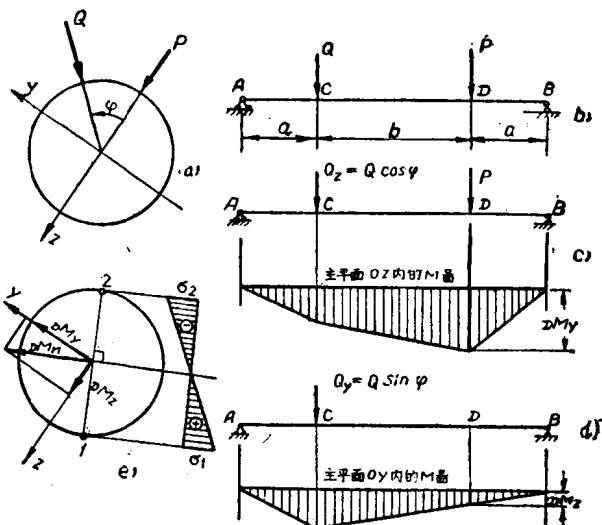


图 14.11

建議讀者自行研究椭圓截面杆受到不在同一平面內的橫向力作用時如何計算其最大弯曲正应力。

§ 14.5. 受弯曲与拉伸(或压缩)联合作用的杆的强度校核

如果作用在梁上的力除了横向力外还有轴向力,則梁的变形就成为弯曲和拉伸或压缩的联合作用,例如挡土墙、悬臂式滑车架等。現在来研究一个最简单的例子,图 14.12 中的 AB 梁(其横截面具有两个对称轴)受均布载荷 q 及轴拉力 P 的同时作用,若梁的挠度与横截面尺寸相比可以略去不计,则可假设轴拉力 P 在横截面上只产生均匀分布的正应力。在此假设的基础上,可以利用力作用的迭加原理来计算横截面上的最大正应力。由于轴拉力 P 所产生的应力为:

$$\sigma_p = +\frac{P}{F};$$

而由于分布载荷 q 所引起的弯矩最大的截面(固定端截面 A, 即最危险截面)上的最大弯曲

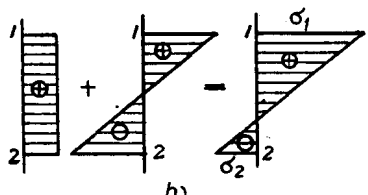
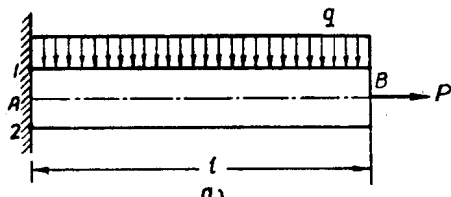


图 14.12

正应力为:

$$\sigma_q = \pm \frac{M_{\max}}{W}.$$

两者的代数和即等于最危险截面上上下两最外纤维 1 及 2 处的正应力:

$$\frac{\sigma_1}{\sigma_2} = + \frac{P}{F} \pm \frac{M_{\max}}{W}. \quad (14.13)$$

在图 14.12(b)中繪出了固定端截面 A 上由于轴拉力 P 和弯矩 $M_{\max} = ql^2/2$ 所引起的正应力分布情况及迭加后总的正应力分布情况。在 P 为拉力情况下, 最大应力为拉应力, 发生在固定端截面 A 的最上緣纤维 1 处; 若 P 为压力, 则最大应力为压应力, 发生在最下緣纤维 2 处。

若以 N 表示轴力, M_{\max} 表示梁内最大弯矩, 则在弯曲与拉伸或压缩联合情况下按正应力的强度条件的普遍形式为:

$$\sigma_{\max} = \left| \frac{N}{F} \pm \frac{M_{\max}}{W} \right| \leq [\sigma]. \quad (14.14)$$

至于在上式左端两项之间采用正号或负号划視轴力 N 为拉力或压力而定。

必須指出, 强度条件(14.14)式只适用于对于中性轴对称的横截面而且材料抵抗拉伸和压缩的强度相等的情况。在对于中性轴不对称的横截面中则应具体研究哪一边最外緣纤维的正应力最大, 并校核此处的强度。若材料抵抗拉伸与压缩的强度不等, 则应同时对两个最外緣纤维进行拉伸与压缩的强度校核。

当梁的挠度与横截面尺寸相比不能略去不计时, 则由于横向力所产生的弯曲变形将改变轴力作用的性质, 在此情况下轴力不但要引起简单拉伸或压缩, 而且还将引起附加的弯曲, 同时, 梁的挠度不但与横向力所产生的弯矩有关, 而且还与轴力所产生的弯矩有关, 因此这一类問題就不能利用力作用的迭加原理来解决了。但是, 当轴力所产生的弯矩与横向力

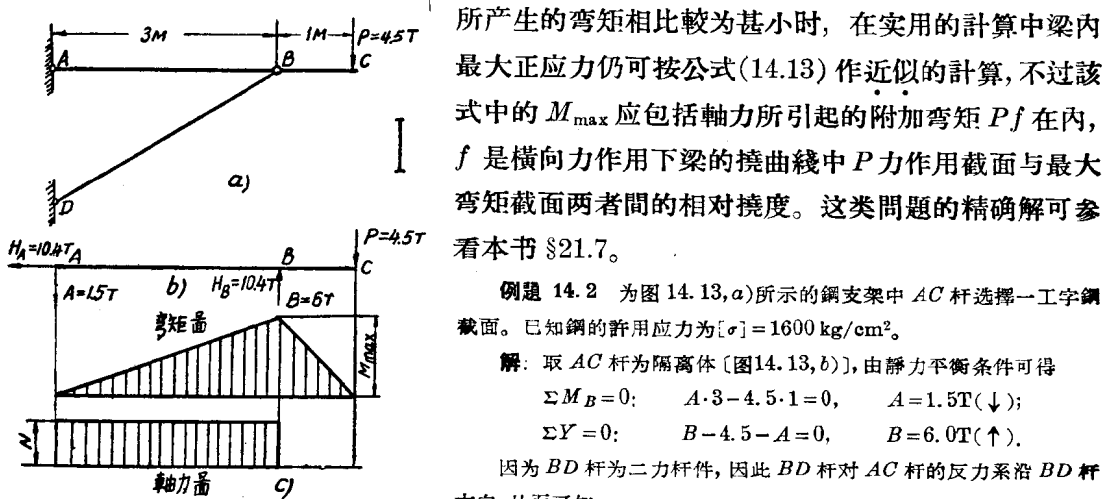


图 14.13

在 AC 杆內，

$$\Sigma X = 0; \quad H_A = H_B = 10.4T(-).$$

根据 AC 杆上的外力，可以繪出其弯矩图及軸力图于图 14.13, c) 上，由此两图可以确定 AC 杆上最危險截面为 B 截面，其上的弯矩及軸力为：

$$M_{\max} = 4.5T - M = 450000 \text{ kg-cm},$$

$$N = +10.4T = +10400 \text{ kg}.$$

先不考慮軸力 N 的作用，按弯曲正应力强度条件選擇截面：

$$W > \frac{M_{\max}}{[\sigma]} = \frac{450000}{1600} = 281 \text{ cm}^3,$$

由工字鋼表上查出：22a 工字鋼 $W = 309 \text{ cm}^3$, $F = 42.0 \text{ cm}^2$ 。選擇此截面后應該再校核危險截面上的最大正应力(在 B 截面的最上邊的纖維處)

$$\sigma_{\max} = \frac{M_{\max}}{W} + \frac{N}{F} = \frac{450000}{309} + \frac{10400}{42.0} = 1456 + 247 = 1703 \text{ kg/cm}^2 > 1600 \text{ kg/cm}^2.$$

从而可知，用 22a 工字鋼时强度还不够，因此，必須采用大一号的 22b 工字鋼： $W = 325 \text{ cm}^3$, $F = 46.4 \text{ cm}^2$ ，此时，

$$\sigma_{\max} = \frac{450000}{325} + \frac{10400}{46.4} = 1383 + 225 = 1608 \text{ kg/cm}^2.$$

σ_{\max} 超過許用应力 $[\sigma] = 1600 \text{ kg/cm}^2$ 仅 0.5%，因此，可以認為是安全的。注意，在此例題中沒有考慮由于軸力 P 所引起的附加弯矩 Pf 的影响，因为其值甚小。

§ 14.6. 受偏心拉伸(或压缩)的杆的应力計算及强度校核

弯曲和拉伸(或压缩)的联合作用在实际应用中的另一重要問題是由于軸力不通过杆截面的形心而产生的所謂偏心拉伸(或压缩)，例如图 14.14 及 14.15 中所示的鉛床之机架和接触网所用的电杆即属于这一类問題。在本节中将研究由于軸力的偏心作用所引起杆的横截面上正应力的計算方法。根据生文南原理可知：将作用在杆端截面上的偏心軸力用一个与其相当的新的力系代替后，在离开杆端較远的横截面上应力的分布情况将不受到影响。因此，在計算距杆端較远的横截面上由于偏心軸力所引起的正应力时，可以将偏心軸力簡化到杆的端截面形心处，变为一个通过截面形心的軸力和两个作用在主平面 xy 和 xz 内的力偶 M_x 和 M_y 。这就是把偏心拉伸(或压缩)的問題簡化为简单拉伸或压缩与两个主平面内的純弯曲的联合作用。下面首先来研究偏心拉伸的情况，所得到的結果只要将軸力变为負值即可用于偏心压缩的情况下。

在图 14.16, a) 所示的杆的端截面上 A 点处作用着一个偏心的軸拉力 P (軸力以拉力为正值)，选择此截面的两个中心主軸为 y, z 坐标軸，使 P 力的作用点 A 位于 yz 坐标系的第一象限内， P 力作用点 A 的坐标以 y_p, z_p 表示，(均为正值)。 P 力作用点 A 与截面形心 O 的联綫称为力綫。

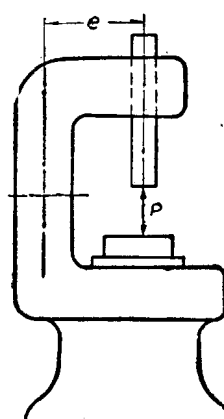


图 14.14

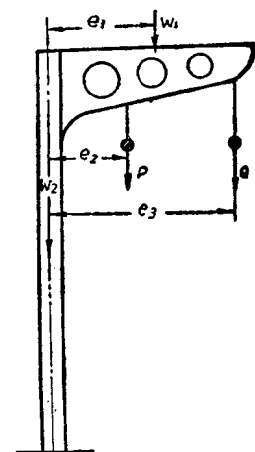


图 14.15

为了計算离杆端較远的横截面上的正应力，可以将 P 力用通过截面形心的 P 力和两个主平面內的力偶 M_y, M_z 来代替[图 14.16,b)], 显然可見:

$$\begin{aligned} M_y &= P \cdot z_p, \\ M_z &= P \cdot y_p. \end{aligned} \quad (14.15)$$

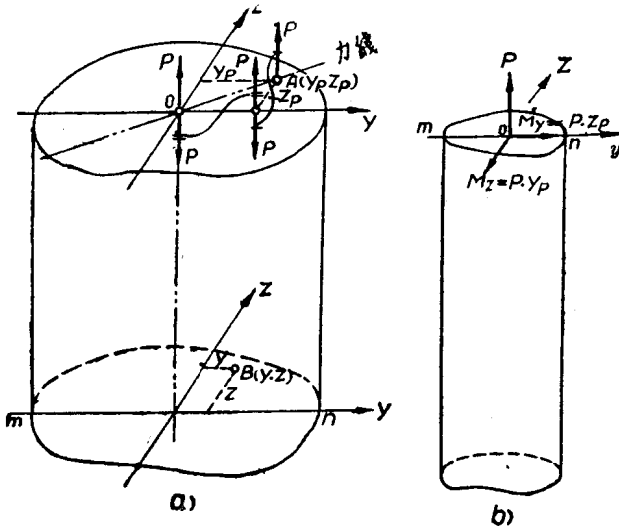


图 14.16

要計算距杆端較远的横截面上任意一点 $B(y, z)$ 处的正应力，可以先分別算出由于軸力 P 及力偶 M_y 和 M_z 所引起的 B 点的正应力;

由于通过截面形心的軸力 P 所引起的 B 点的正应力为: $\sigma' = +\frac{P}{F}$;

由于主平面 xz 內的力偶 M_y 所引起的 B 点的正应力为: $\sigma'' = +\frac{M_y \cdot z}{J_y} = +\frac{P \cdot z_p \cdot z}{J_y}$;

由于主平面 xy 內的力偶 M_z 所引起的 B 点的正应力为: $\sigma''' = +\frac{M_z \cdot y}{J_z} = +\frac{P \cdot y_p \cdot y}{J_z}$.

然后，根据力作用的迭加原理，求出以上三个应力的代数和，即得横截面上任意一点 B 在偏心軸力作用下的正应力:

$$\sigma = +\frac{P}{F} + \frac{P \cdot z_p \cdot z}{J_y} + \frac{P \cdot y_p \cdot y}{J_z} = +\frac{P}{F} \left[1 + \frac{z_p \cdot z}{i_y^2} + \frac{y_p \cdot y}{i_z^2} \right], \quad (14.16)$$

上式中 i_y 及 i_z 分別代表横截面对于两个主軸 y 和 z 的慣性半徑(參看 §. 9.10, 公式 9.29)。在上式中只要将 B 点的坐标值連同其符号一并代入，即可求得 B 点正应力的数值(正值为拉应力，負值为压应力)。附帶地應該指出公式 (14.16) 不能用来計算靠近端截面的横截面上的正应力，这些横截面上的应力属于局部应力，只能由彈性理論的方法来計算。

由变形的平面假設可以推論得知横截面上应力分布規律仍为線性規律，所以，离开横截面上零应力綫(在此綫上各点的正应力均等于零)距离最远的点，其正应力也将是最大的(參看§14.2)。因此，要計算横截面上的最大正应力，首先应确定零应力綫的位置。令零应力綫上任一点的坐标为 y_0, z_0 ，則此点的正应力应等于零，即: